

Модуль 6. Численное решение нестационарного уравнения теплопроводности

6.1. Постановка задачи. Явная разностная схема

$$(1) \quad \begin{cases} U_t = U_{xx} + f(x, t), x \in [0, 1], t \in [0, T] \\ U(x, 0) = \varphi(x) \\ \alpha_1 U(0, t) + \alpha_2 U'_x(0, t) = \mu_1(t), |\alpha_1| + |\alpha_2| \neq 0 \\ \beta_1 U(1, t) + \beta_2 U'_x(1, t) = \mu_2(t), |\beta_1| + |\beta_2| \neq 0 \end{cases} \quad U(x, t) = ?$$

нач. условия [краевые условия [

Смысл задачи (1):

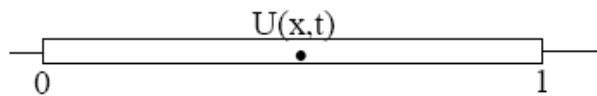
$U(x, t)$ – температура в точке стержня с координатой x в момент времени t .

$\varphi(x)$ – распределение температуры в начальный момент времени.

функции μ_1, μ_2 и коэффициенты $\alpha_i, \beta_i, i=1, 2$ определяют тепловой режим на концах стержня в любой момент времени.

$f(x, t)$ – функция плотности источников или стоков тепла на стержне.

Уравнение и система уравнений типа (1) используется в задачах химической кинематики, моделях биологических популяций и при моделировании движения фронта при боевых действиях.



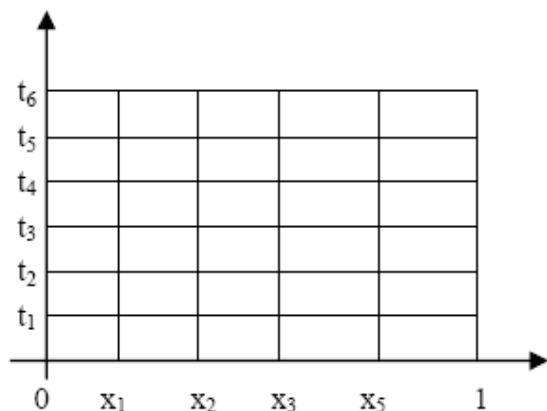
6.2. Явная разностная схема

Сетка и разностная схема:

$$h = \frac{1}{n}, x_i = ih, i = \overline{0, n} \quad x_0 = 0 \quad x_n = 1 \quad \tau = \frac{T}{m} \quad t_j = j\tau, j = \overline{0, m}$$

$U_{ij} = U(x_i, t_j)$ - точное решение задачи (1) в узлах сетки

V_{ij} - точное решение разностной схемы в узлах сетки.



$$\begin{aligned}
 (2-1) \quad & \left\{ \begin{aligned} \frac{V_{\bar{j}+1} - V_{\bar{j}}}{\tau} - \frac{V_{i+1\bar{j}} - 2V_{\bar{i}\bar{j}} + V_{i-1\bar{j}}}{h^2} &= f(x_i, t_j), \bar{i} = \overline{1, n-1}, \bar{j} = \overline{0, m} \\ V_{i0} &= \varphi(x_i) \\ \alpha_1 V_{0\bar{j}} + \alpha_2 \frac{V_{1\bar{j}} - V_{0\bar{j}}}{h} &= \mu_1(t_j) \quad \bar{j} = \overline{1, m} \\ \beta_1 V_{n\bar{j}} + \beta_2 \frac{V_{n\bar{j}} - V_{n-1\bar{j}}}{h} &= \mu_2(t_j) \end{aligned} \right. \\
 (2-2) \quad & \\
 (2-3) \quad & \\
 (2-4) \quad &
 \end{aligned}$$

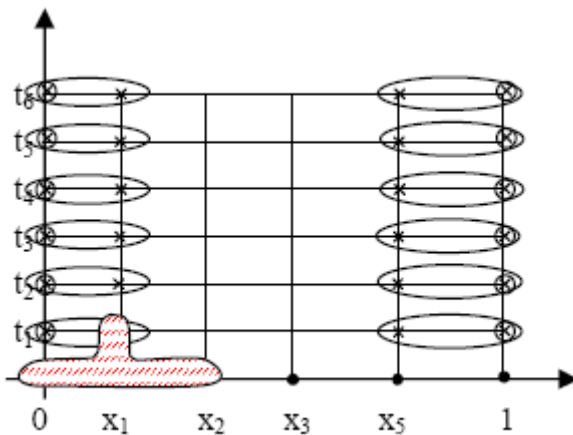
Значения сеточной функции $U_{\bar{i}\bar{j}}$ и $V_{\bar{i}\bar{j}}$ соответствующие одному компоненту времени $t=t_j$ называются одним слоем.

Рассмотрим задачу (1) и разностную схему (2).

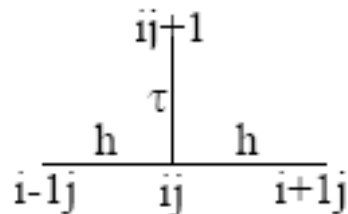
V_{31} - приближенное значение температуры стержня при $x=x_3$ в момент времени t_1 .

⊗ - эти узлы соответствуют границе стержня, значения сеточной функции V в этих узлах определяют температуру на границах стержня.

$\left. \begin{array}{l} \otimes \times \\ \times \otimes \end{array} \right\}$ - узлы участвующие в аппроксимации граничных условий.



Это шаблон, аппроксимирующий основное уравнение. Его можно прикладывать к узлам: $\bar{i} = \overline{1, n-1} \quad \bar{j} = \overline{0, m-1}$



Способ решения схемы

находим $V_{i0} = \varphi_i, i = \overline{0, n}$, затем (2*-2) схема решается послойно.

для слоя $j = \overline{0, m-1}$ вычисляем:

$$V_{ij+1} = \left(\frac{V_{i+1j} - 2V_{ij} + V_{i-1j}}{h^2} + f_{ij} \right) \tau + V_{ij}, i = \overline{1, n-1} \quad (2^*-1) \text{ затем (2-3) и (2-4):}$$

$$V_{0j} = \frac{\left(\mu_1(t_j) - \frac{\alpha_2}{n} V_{1j} \right)}{\alpha_1 - \frac{\alpha_2}{h}} \quad (2^*-3) \quad V_{nj} = \frac{\left(\mu_2(t_j) + \frac{\beta_2}{h} V_{n-1j} \right)}{\beta_1 + \frac{\beta_2}{n}} \quad (2^*-4)$$

Переходим к следующему условию.

6.3. Неявная схема (чисто неявная)

$$(1^*) \begin{cases} U_t = U_{xx} + f(x, t) \\ U(x, 0) = \varphi(x) \\ U(0, t) = \mu_1(t) \quad U(1, t) = \mu_2(t) \\ x \in [0, 1], t \in [0, T] \end{cases}$$

$$\text{Сетка: } h = \frac{1}{n}, x_i = ih, i = \overline{0, n} \quad x_0 = 0 \quad x_n = 1 \quad \tau = \frac{T}{m} \quad t_j = j\tau, j = \overline{0, m}$$

$$(15) \begin{cases} \frac{V_{ij+1} - V_{ij}}{\tau} - \frac{V_{i+1j+1} - 2V_{ij+1} + V_{i-1j+1}}{h^2} = f(x_i, t_j) \\ \text{def} \\ f_{ij+1} = \Phi_{ij}, i = \overline{1, n-1}, j = \overline{0, m-1} \\ V_{i0} = \varphi_i, i = \overline{0, n} \\ V_{0j} = \mu_{1j}, V_{nj} = \mu_{2j}, j = \overline{1, m} \end{cases}$$

Это чисто неявная схема: схему (15) решают послойно, 0-й слой – из начальных условий. При нахождении каждого последующего слоя, нужно решать систему с трехдиагональной матрицей.

Для отыскания $j+1$ слоя, используется j -й слой:

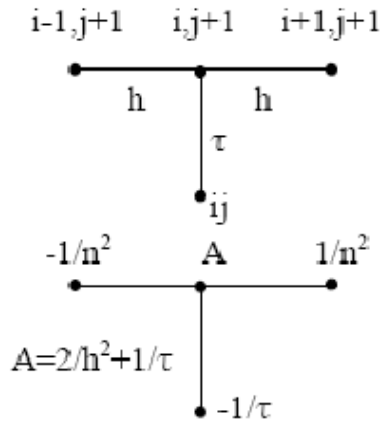
$$V_{0j+1} = \mu_{1j+1} \quad V_{nj+1} = \mu_{2j+1}$$

$$(16) \left[-\frac{1}{h^2} V_{i-1j+1} + A V_{ij+1} - \frac{1}{h^2} V_{i+1j+1} = f_{ij+1} + \frac{V_{ij}}{\tau} \right]$$

Для модельной задачи (1*) и неявной схемы (15) можно построить вспомогательную задачу (1**) и неявную разностную схему, аналогичную (15) \Rightarrow можно ввести определение вычислительной устойчивости (15).

Оказывается (15) вычислительно устойчива при любом выборе шага h и τ . (Эту теорему доказать самим)

Рассмотрим модельную задачу (1*) из #11:



6.4. Неявная схема с весом 1/2

Запишем вычислительно устойчивую схему для любых h и τ и будем более быструю сходимость чем, чисто неявная и явная схема.

$$(17) \left\{ \begin{array}{l} \frac{V_{ij+1} - V_{ij}}{\tau} - \frac{1}{2} \frac{V_{i+1,j} - 2V_{ij} + V_{i-1,j}}{h^2} - \frac{1}{2} \frac{V_{i+1,j+1} - 2V_{ij+1} + V_{i-1,j+1}}{h^2} = \\ = f(x_i, t_{j+1/2}), i = \overline{1, n-1}, j = \overline{0, m-1} \\ V_{i0} = \varphi_i, i = \overline{0, n} \\ V_{0j} = \mu_{1j}, V_{nj} = \mu_{2j}, j = \overline{0, m} \quad f_{ij+1/2} \stackrel{def}{=} \Phi_{ij} \end{array} \right.$$

схема (17) является неявной и решается послойно.

начальный слой: $V_{i0} = \varphi_i, i = \overline{0, n}$ слой $j+1$ находится на основе j -го, при этом решается система с 3-х диагональной матрицей.

$$V_{0j+1} = \mu_{1j+1} \quad V_{nj+1} = \mu_{2j+1}$$

$$\left[-\frac{1}{2h^2} V_{i-1,j+1} + \left(\frac{1}{h^2} + \frac{1}{\tau} \right) V_{ij+1} - \frac{1}{2h^2} V_{i+1,j+1} = f_{ij+1/2} + \left(\frac{1}{\tau} - \frac{1}{h^2} \right) V_{ij} + \frac{1}{2h^2} V_{i-1,j} + \frac{1}{2h^2} V_{i+1,j} \right] (18)$$

- решается на каждом слое.

Определение вычислительной устойчивости и ее анализ проводится аналогично #11.

Итог по #11-12:

Пусть дана задача Коши для линейного параболического уравнения (например (1) или (1*)). В этом случае предпочтительнее использовать неявные разностные схемы улучшенного порядка

